

fig. 1A
(PRIOR ART)

7	6	5	16
8	1	4	15
9	2	3	14
10	11	12	13

fig. 1B
(PRIOR ART)

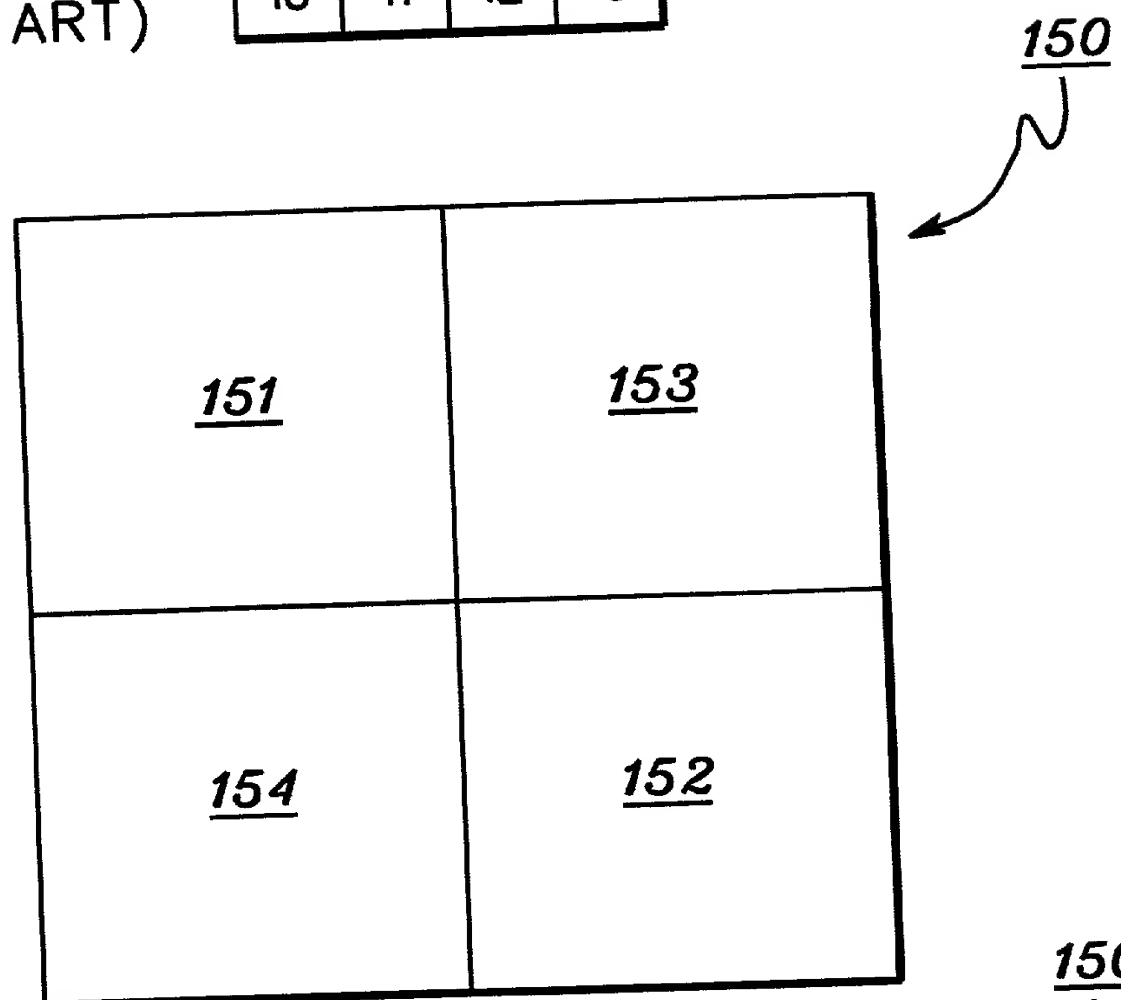


fig. 1C
(PRIOR ART)

25	21	17	61	27	23	19	63
29	1	13	57	31	3	15	59
33	5	9	53	35	7	11	55
37	41	45	49	39	43	47	51
28	24	20	64	26	22	18	62
32	4	16	60	30	2	14	58
36	8	12	56	34	6	10	54
40	44	48	52	38	42	46	50

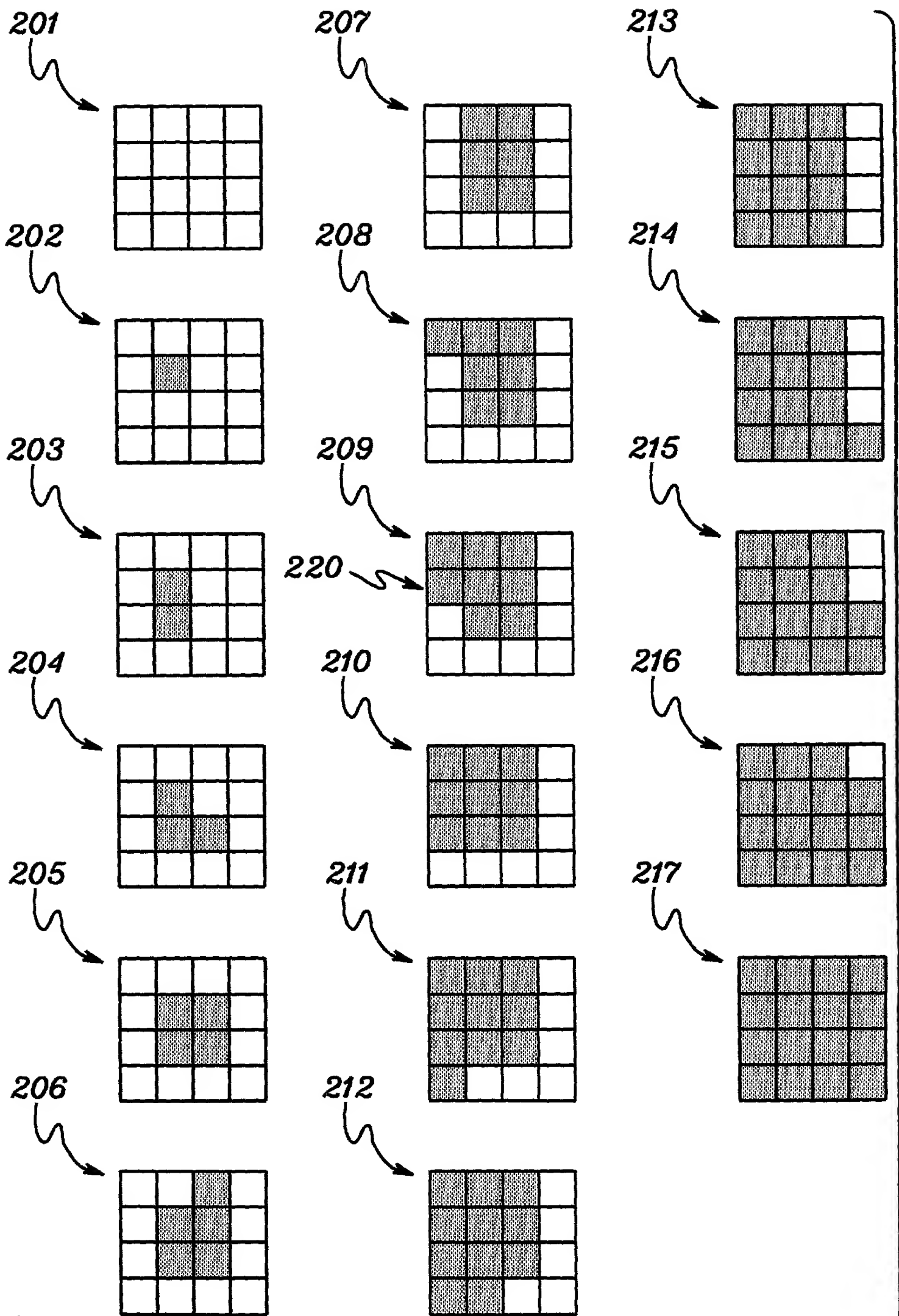


fig. 2 (PRIOR ART)

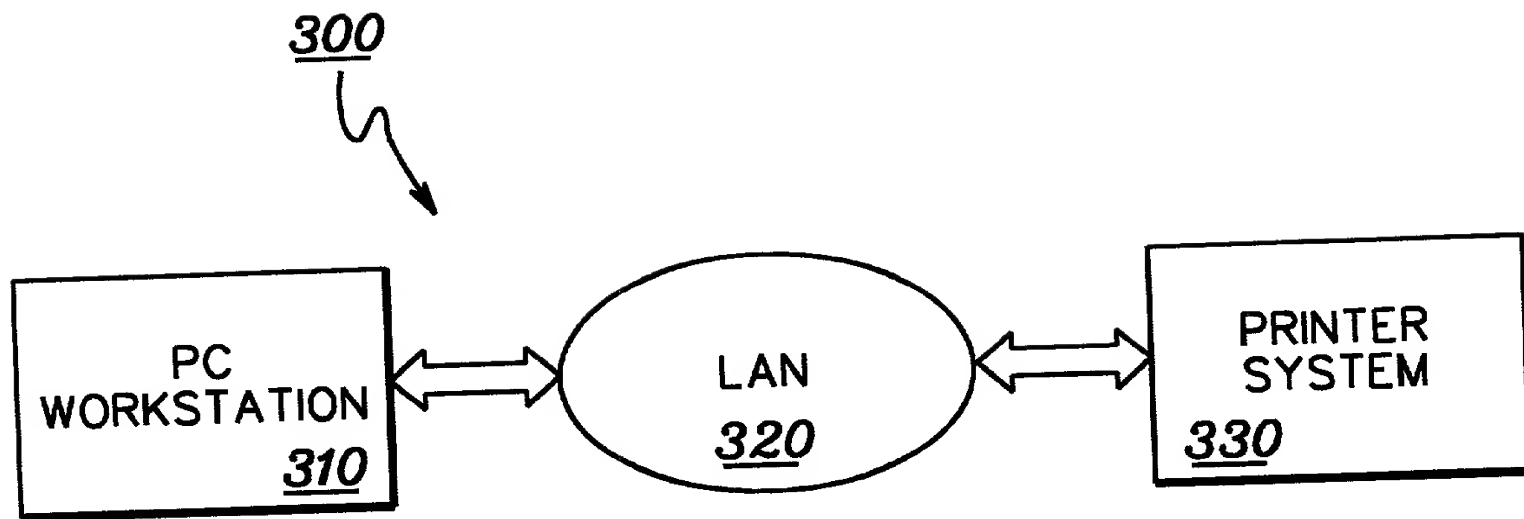


fig. 3

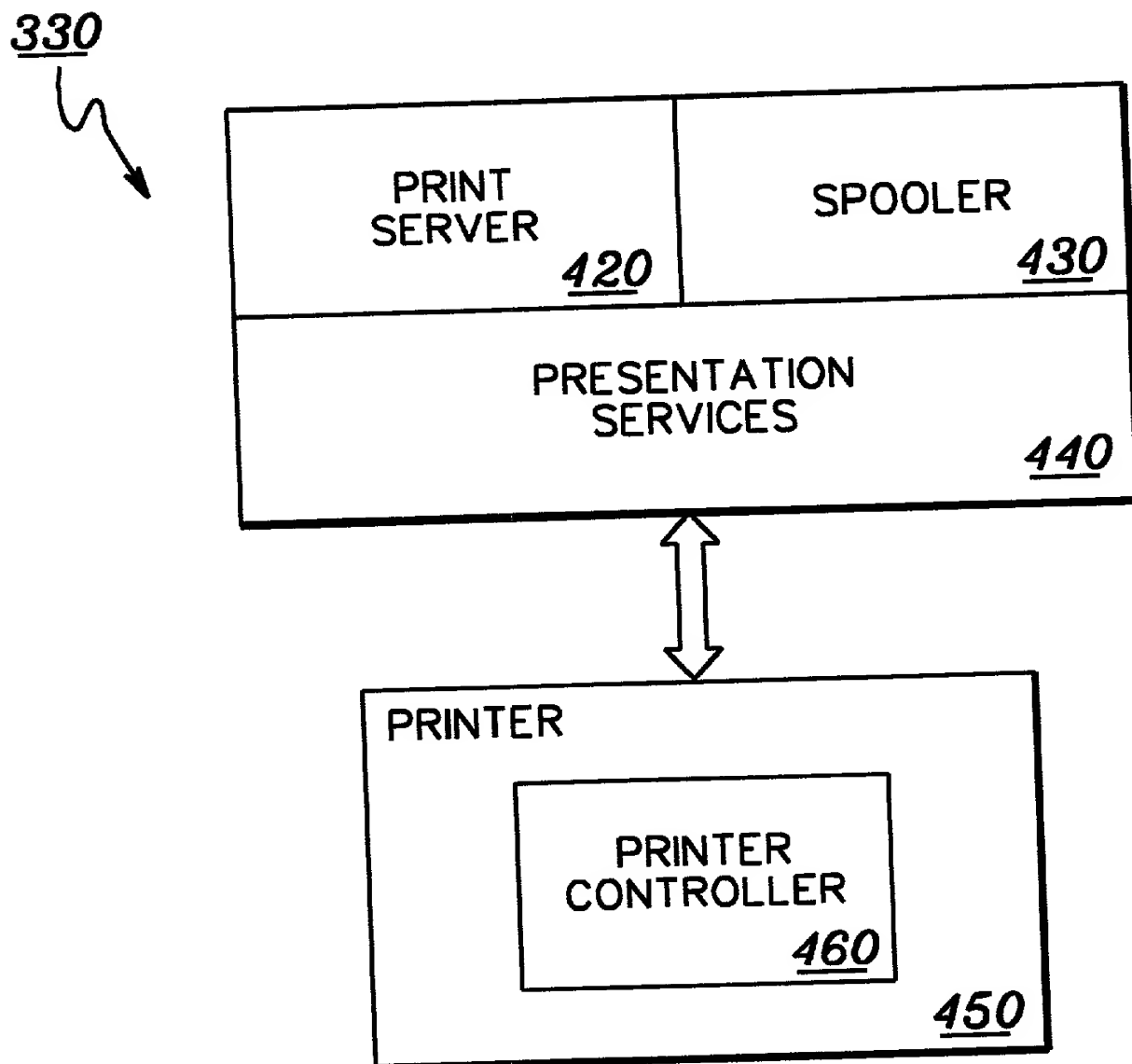


fig. 4

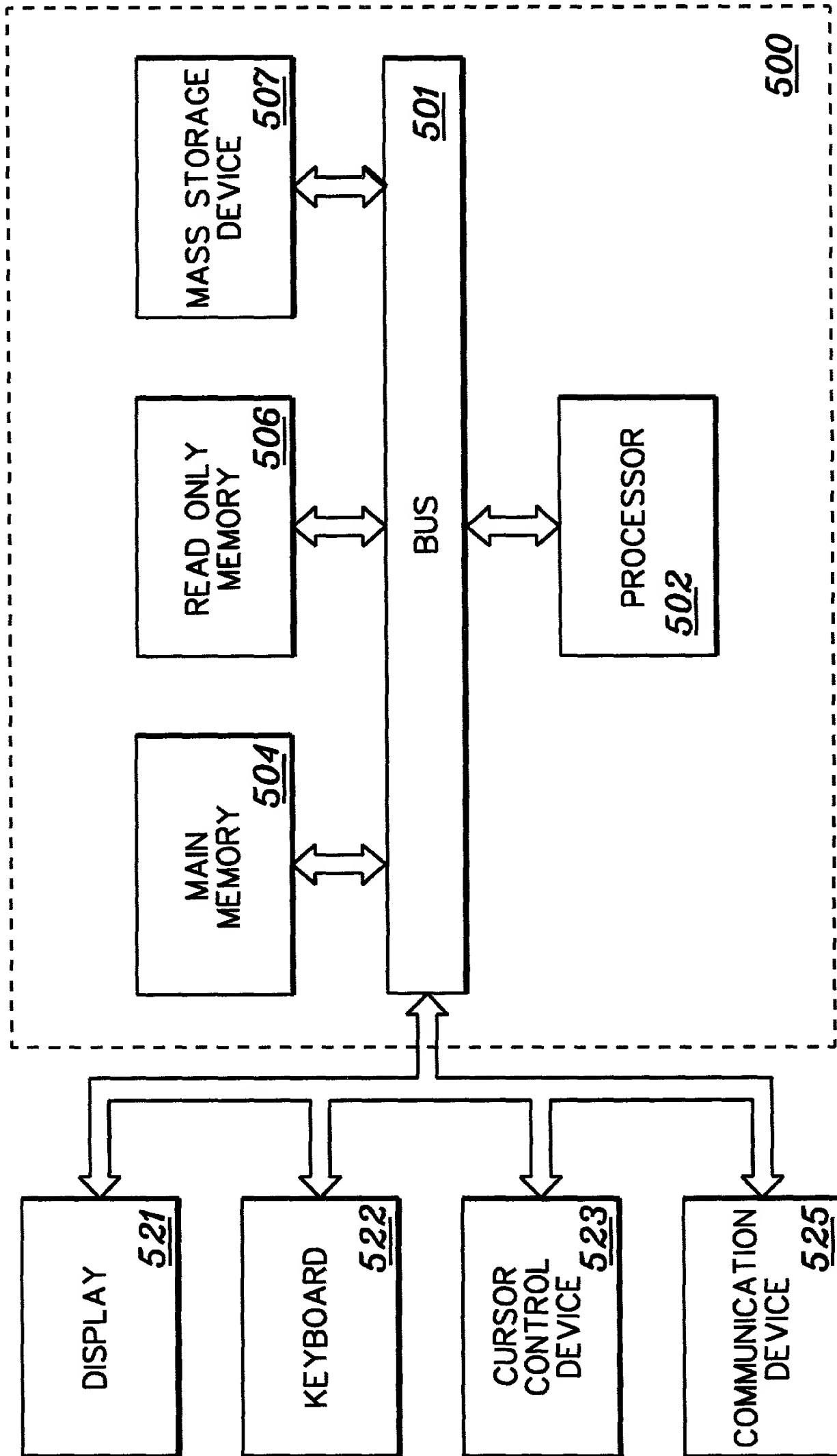


fig. 5

600

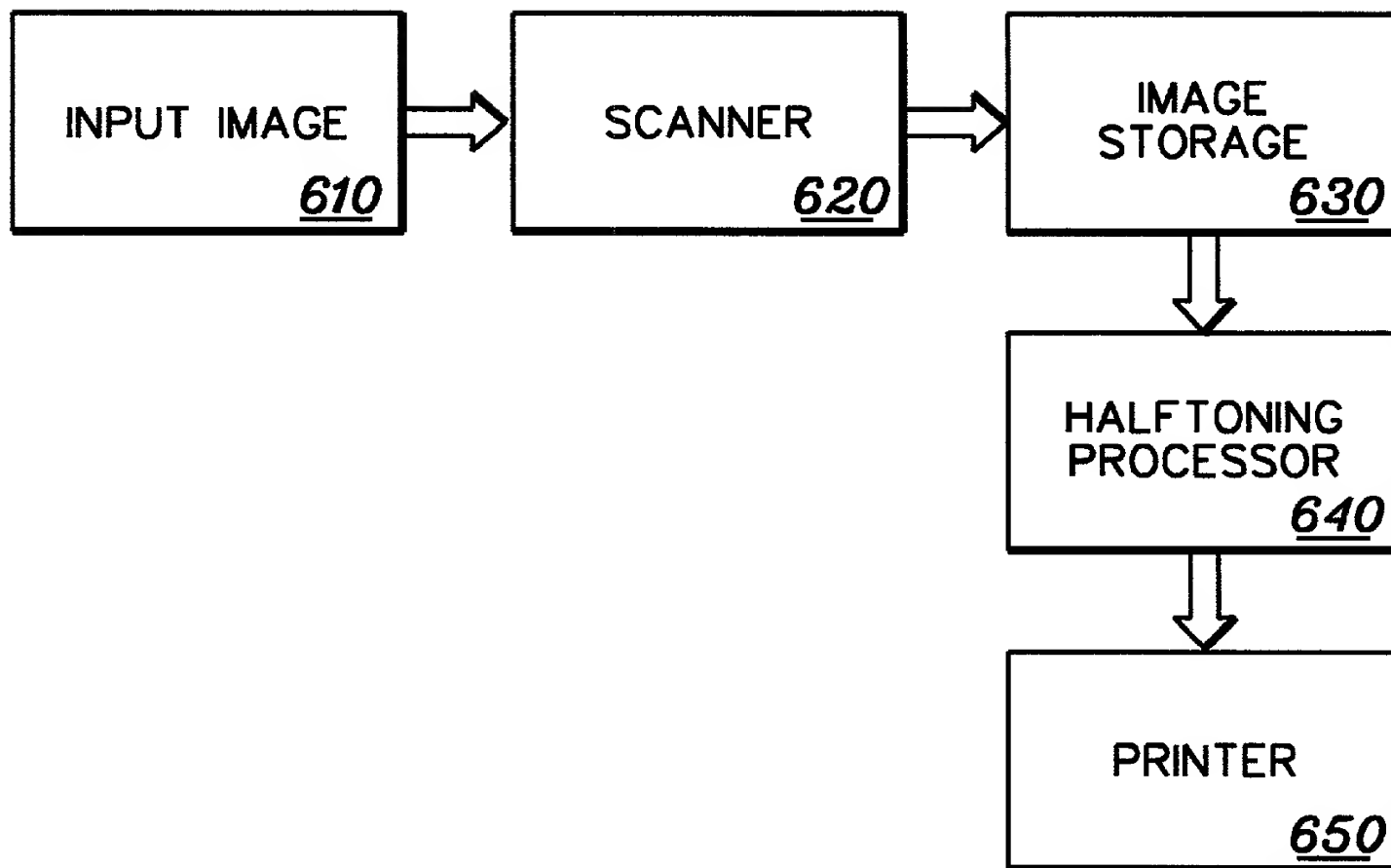


fig. 6

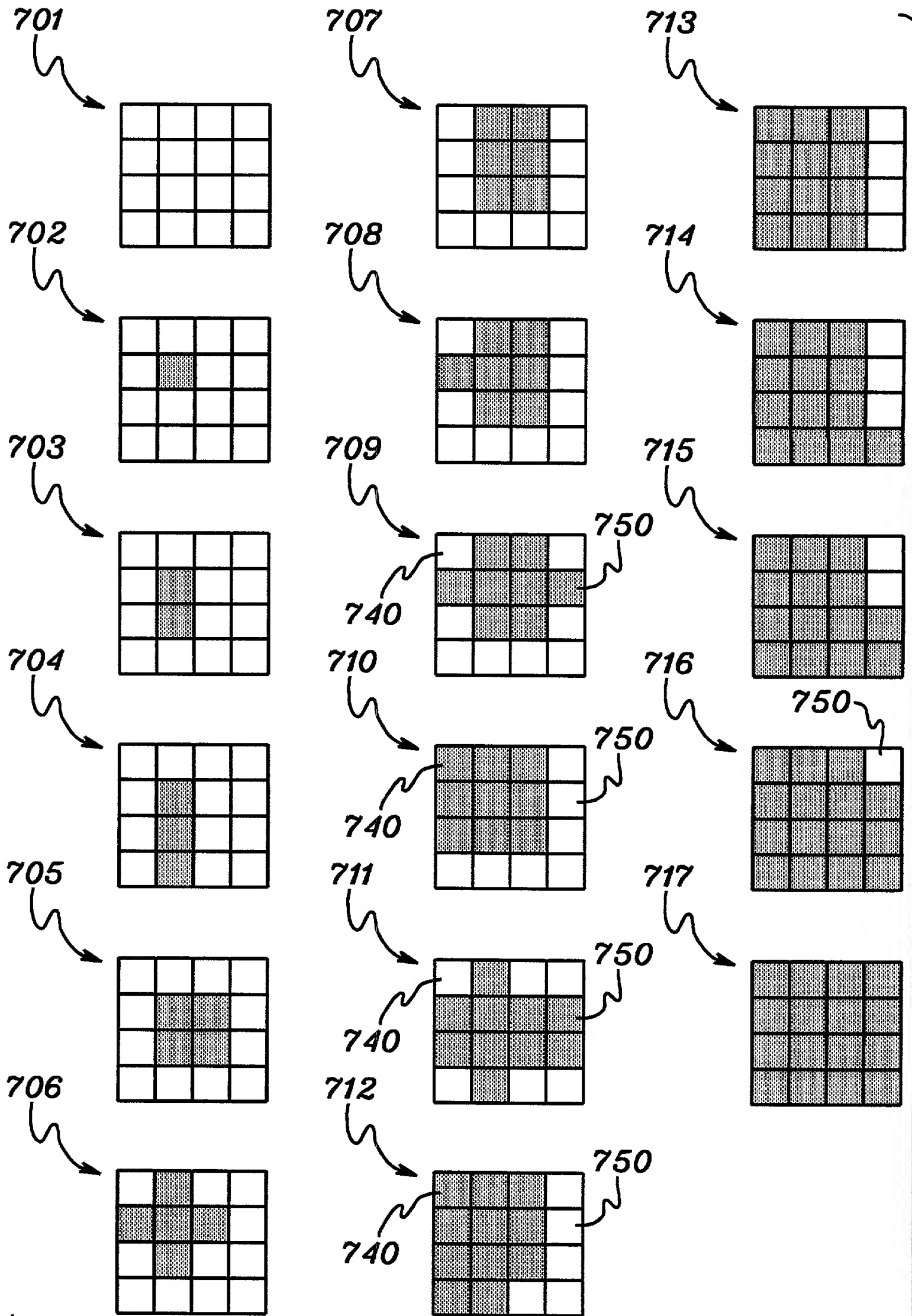


fig. 7

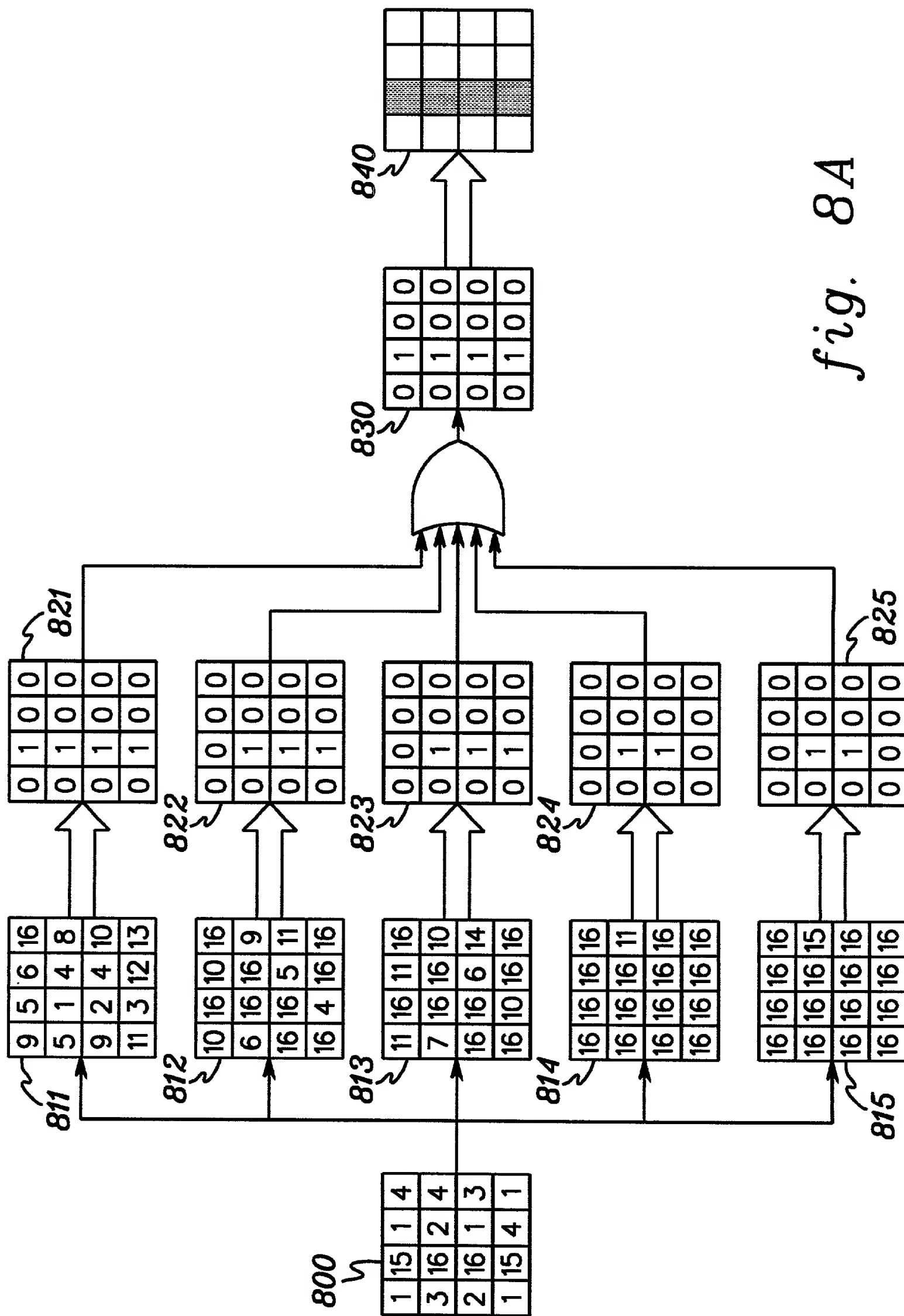


fig. 8A

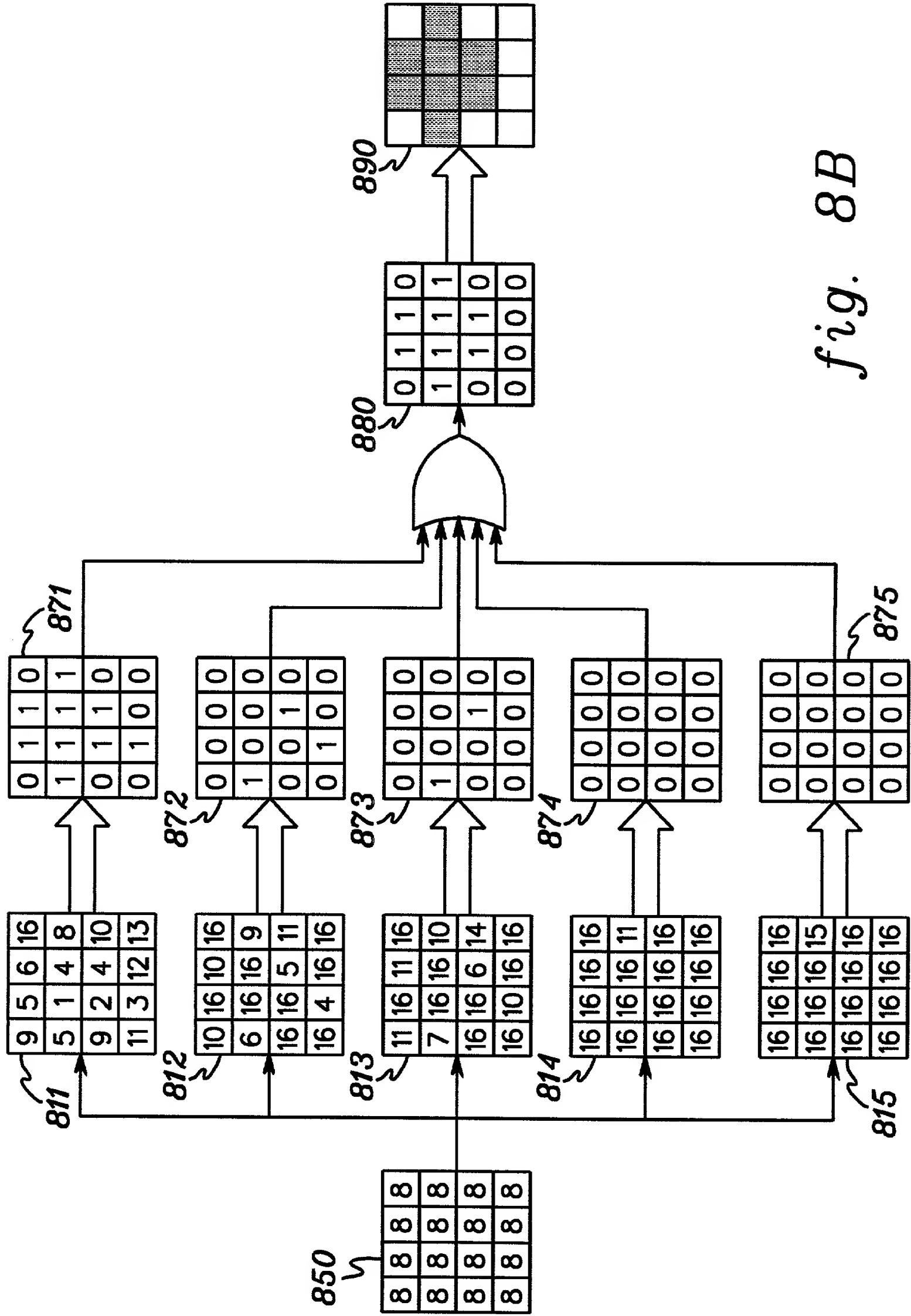


fig. 8B

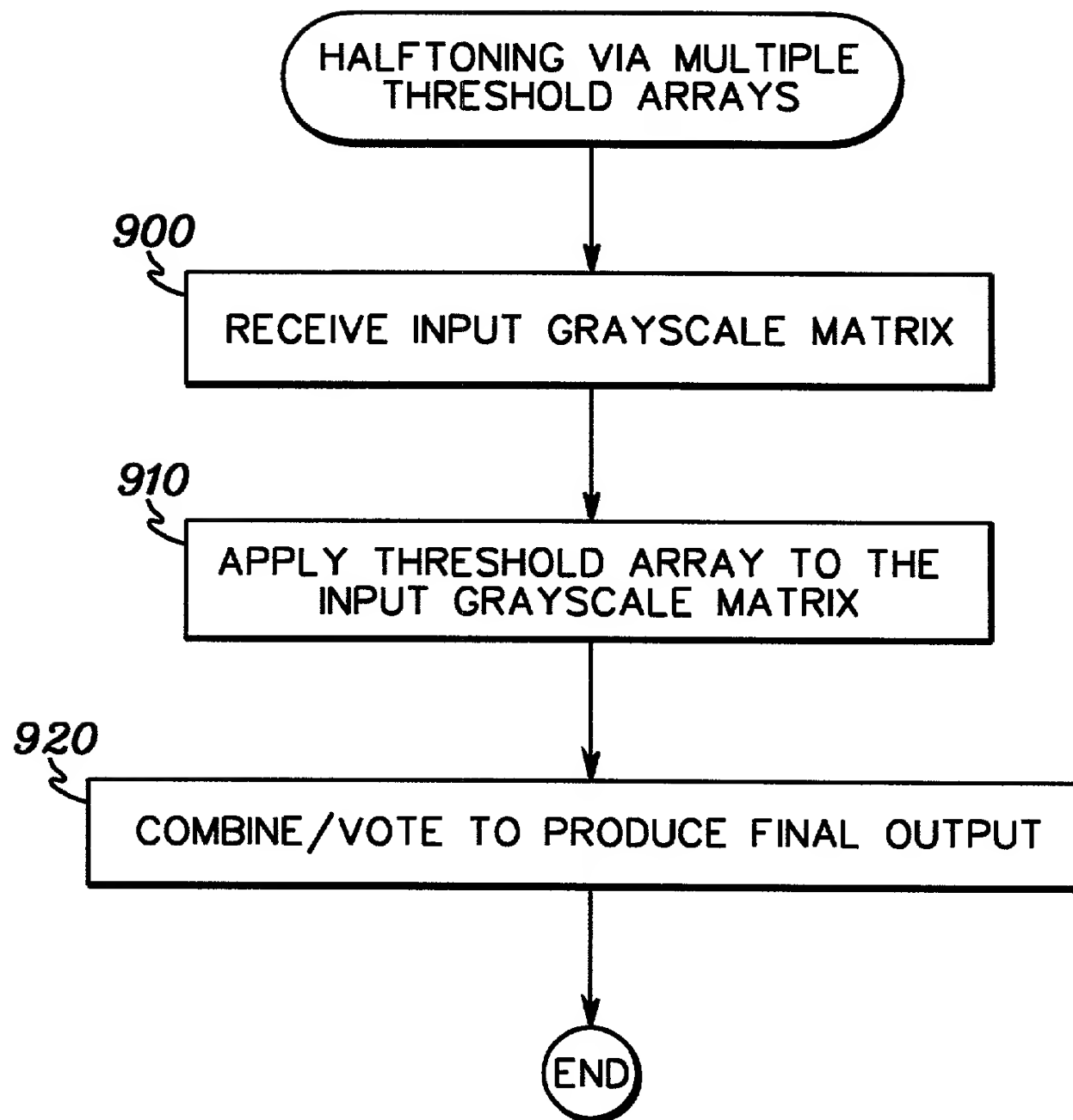


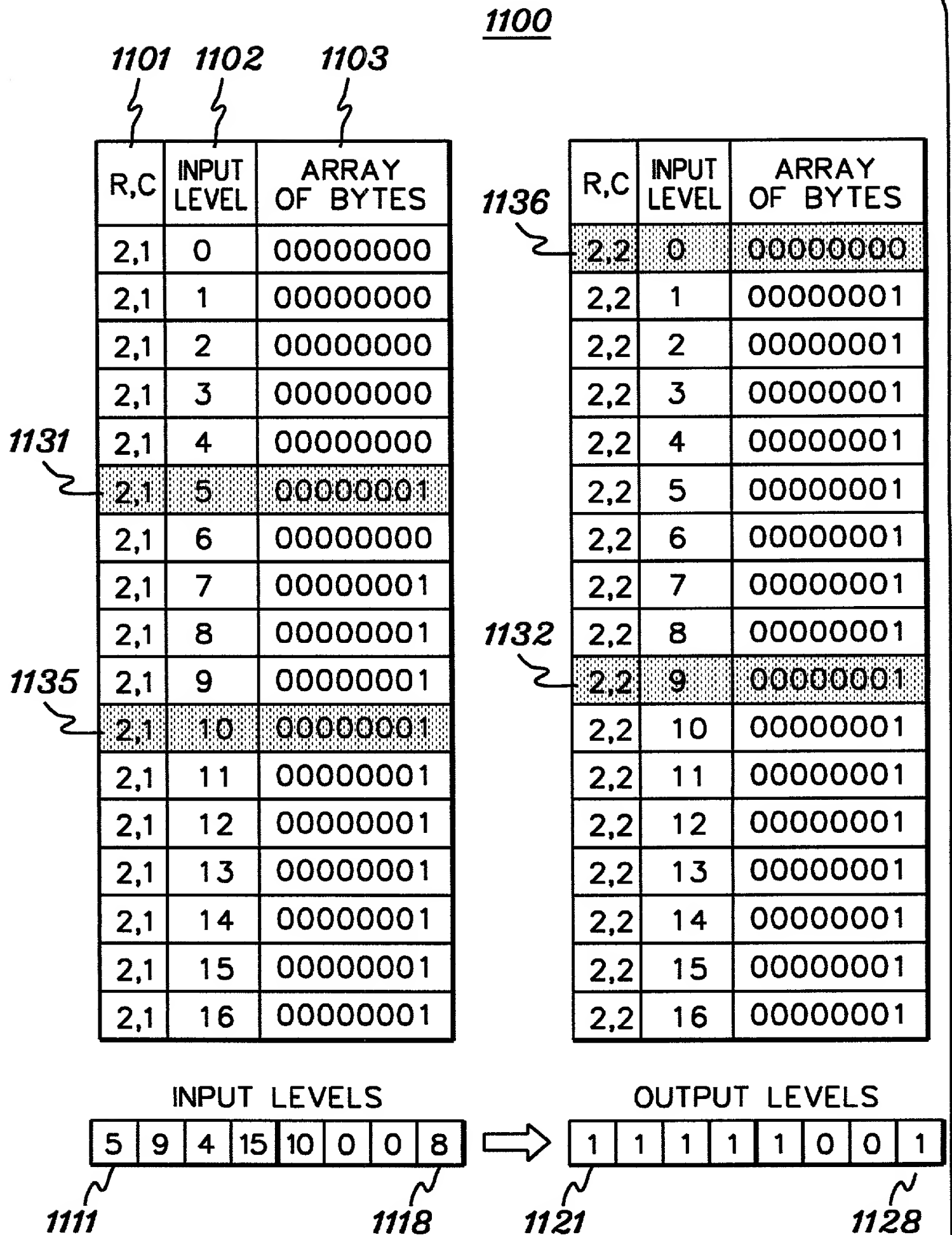
fig. 9

INPUT LEVEL	ROW 1 BIT VECTOR	ROW 2 BIT VECTOR	ROW 3 BIT VECTOR	ROW 4 BIT VECTOR
0	0000	0000	0000	0000
1	0000	0100	0000	0000
2	0000	0100	0100	0000
3	0000	0100	0100	0100
4	0000	0110	0110	0000
5	0100	1110	0100	0000
6	0110	0110	0110	0000
7	0110	1110	0110	0000
8	0110	1111	0110	0000
9	1110	1110	1110	0000
10	0100	1111	1111	0100
11	1110	1110	1110	1100
12	1110	1110	1110	1110
13	1110	1110	1110	1111
14	1110	1110	1111	1111
15	1110	1111	1111	1111
16	1111	1111	1111	1111

fig. 10A

INPUT LEVEL	ROW1.ROW1	ROW2.ROW2	ROW3.ROW3	ROW4.ROW4
0	0000. 0000	0000. 0000	0000. 0000	0000. 0000
1	0000. 0000	0100. 0100	0000. 0000	0000. 0000
2	0000. 0000	0100. 0100	0100. 0100	0000. 0000
3	0000. 0000	0100. 0100	0100. 0100	0100. 0100
4	0000. 0000	0110. 0110	0110. 0110	0000. 0000
5	0100. 0100	1110. 1110	0100. 0100	0000. 0000
6	0110. 0110	0110. 0110	0110. 0110	0000. 0000
7	0110. 0110	1110. 1110	0110. 0110	0000. 0000
8	0110. 0110	1111. 1111	0110. 0110	0000. 0000
9	1110. 1110	1110. 1110	1110. 1110	0000. 0000
10	0100. 0100	1111. 1111	1111. 1111	0100. 0100
11	1110. 1110	1110. 1110	1110. 1110	1100. 1100
12	1110. 1110	1110. 1110	1110. 1110	1110. 1110
13	1110. 1110	1110. 1110	1110. 1110	1111. 1111
14	1110. 1110	1110. 1110	1111. 1111	1111. 1111
15	1110. 1110	1111. 1111	1111. 1111	1111. 1111
16	1111. 1111	1111. 1111	1111. 1111	1111. 1111

fig. 10B



1100

1101

1102

1103

1137	R,C	INPUT LEVEL	ARRAY OF BYTES
	2,3	0	00000000
	2,3	1	00000000
	2,3	2	00000000
1133	2,3	3	00000000
	2,3	4	00000001
	2,3	5	00000001
	2,3	6	00000001
	2,3	7	00000001
	2,3	8	00000001
	2,3	9	00000001
	2,3	10	00000001
	2,3	11	00000001
	2,3	12	00000001
	2,3	13	00000001
	2,3	14	00000001
	2,3	15	00000001
	2,3	16	00000001

R,C	INPUT LEVEL	ARRAY OF BYTES	
2,4	0	00000000	
2,4	1	00000000	
2,4	2	00000000	
2,4	3	00000000	
2,4	4	00000000	
2,4	5	00000000	
2,4	6	00000000	
2,4	7	00000000	
1138	2,4	8	00000001
	2,4	9	00000000
	2,4	10	00000001
	2,4	11	00000000
	2,4	12	00000000
	2,4	13	00000000
1134	2,4	14	00000000
	2,4	15	00000001
	2,4	16	00000001

fig. 11B

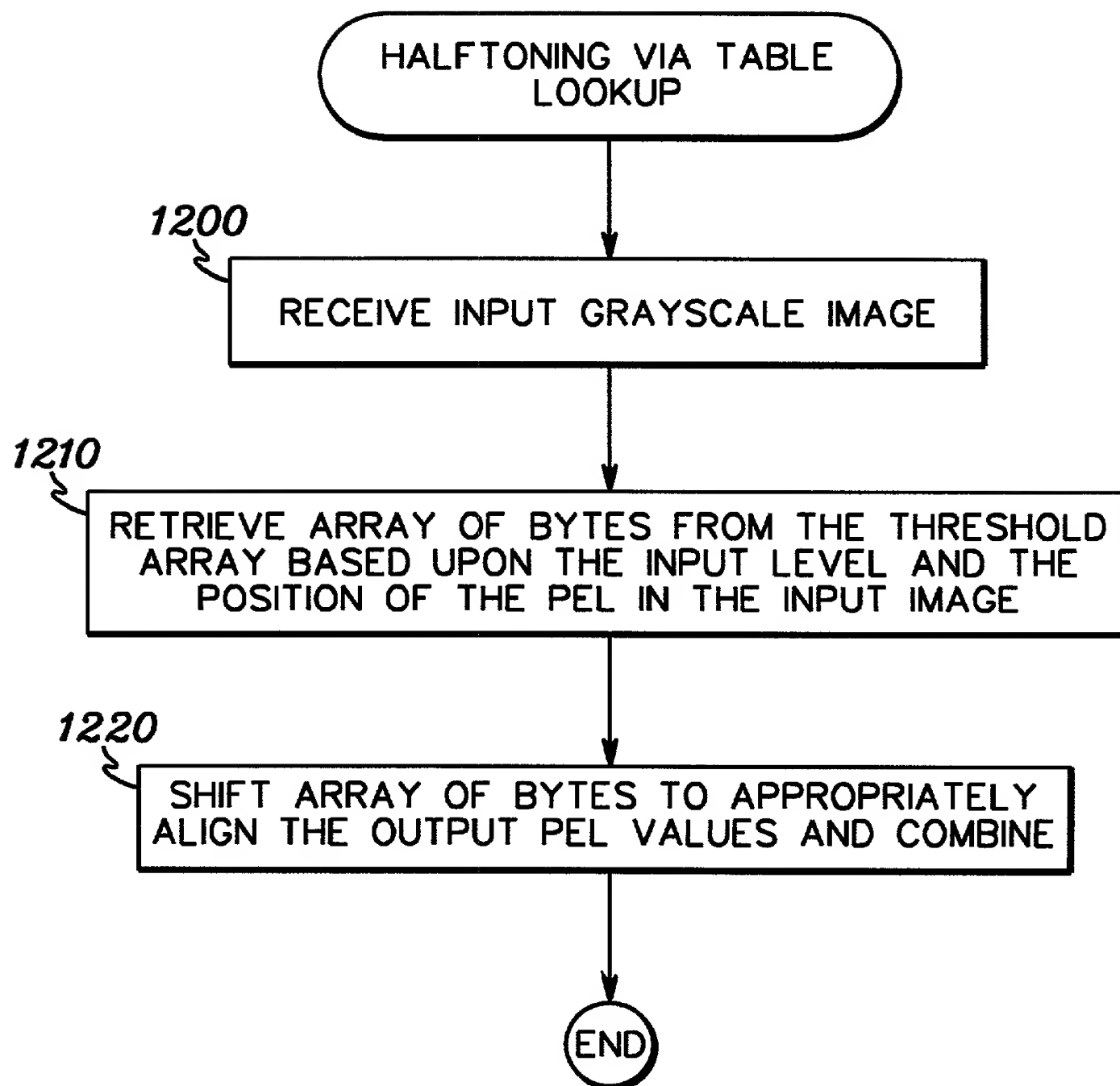
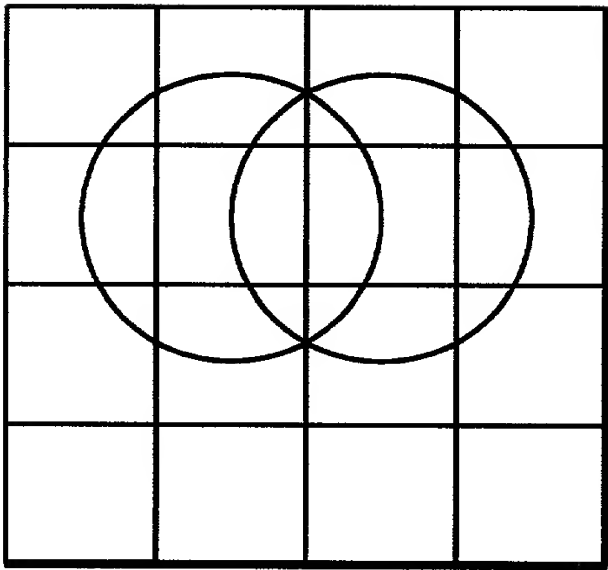
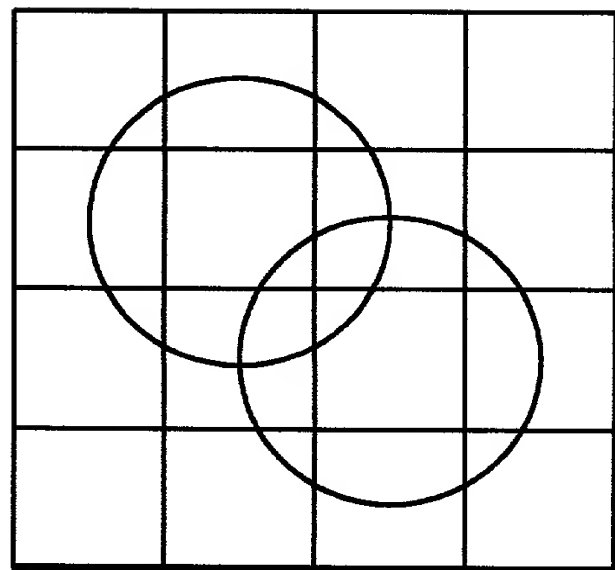


fig. 12



ADJACENT PELS



DIAGONAL PELS

fig. 13

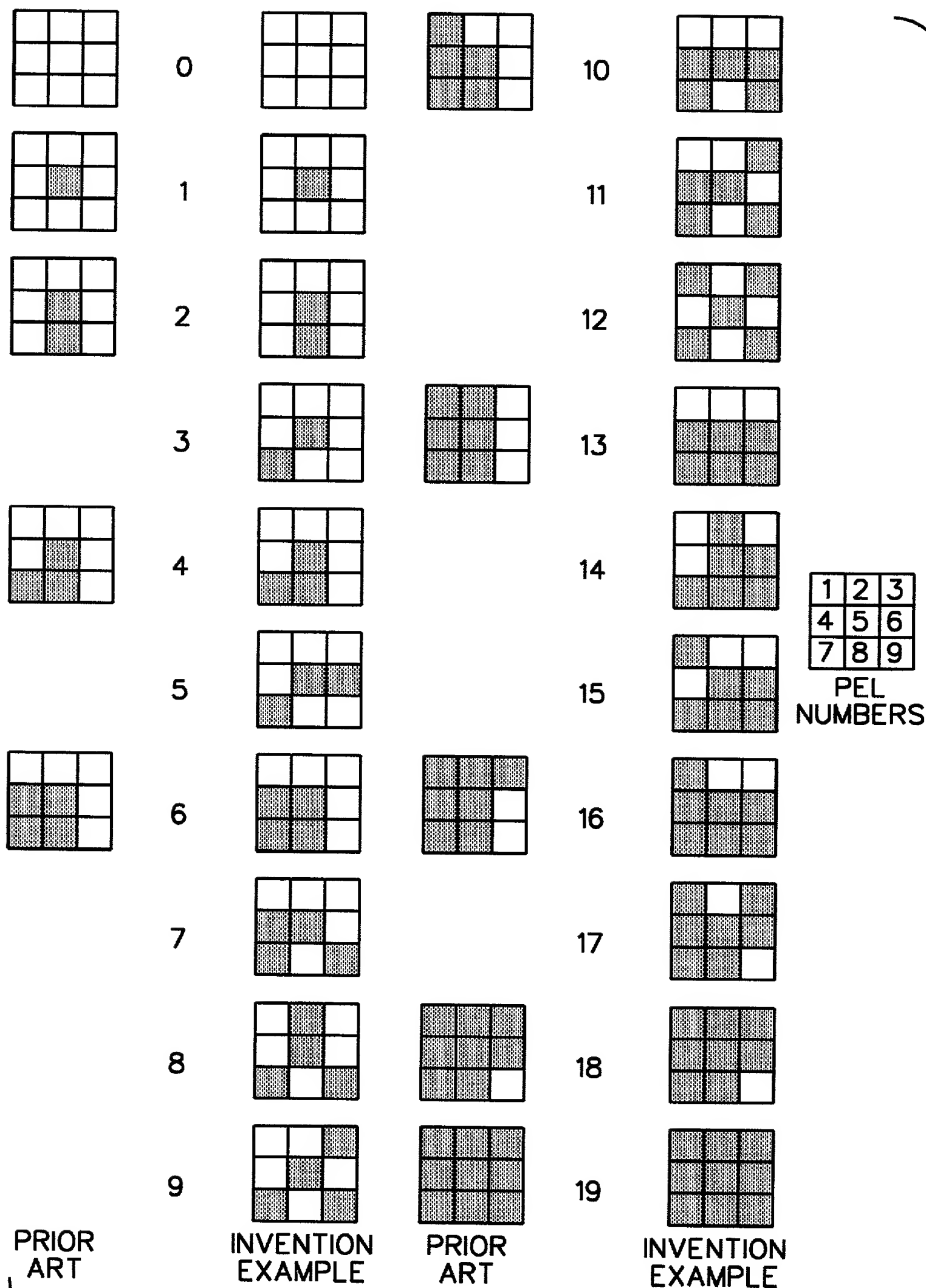


fig. 14

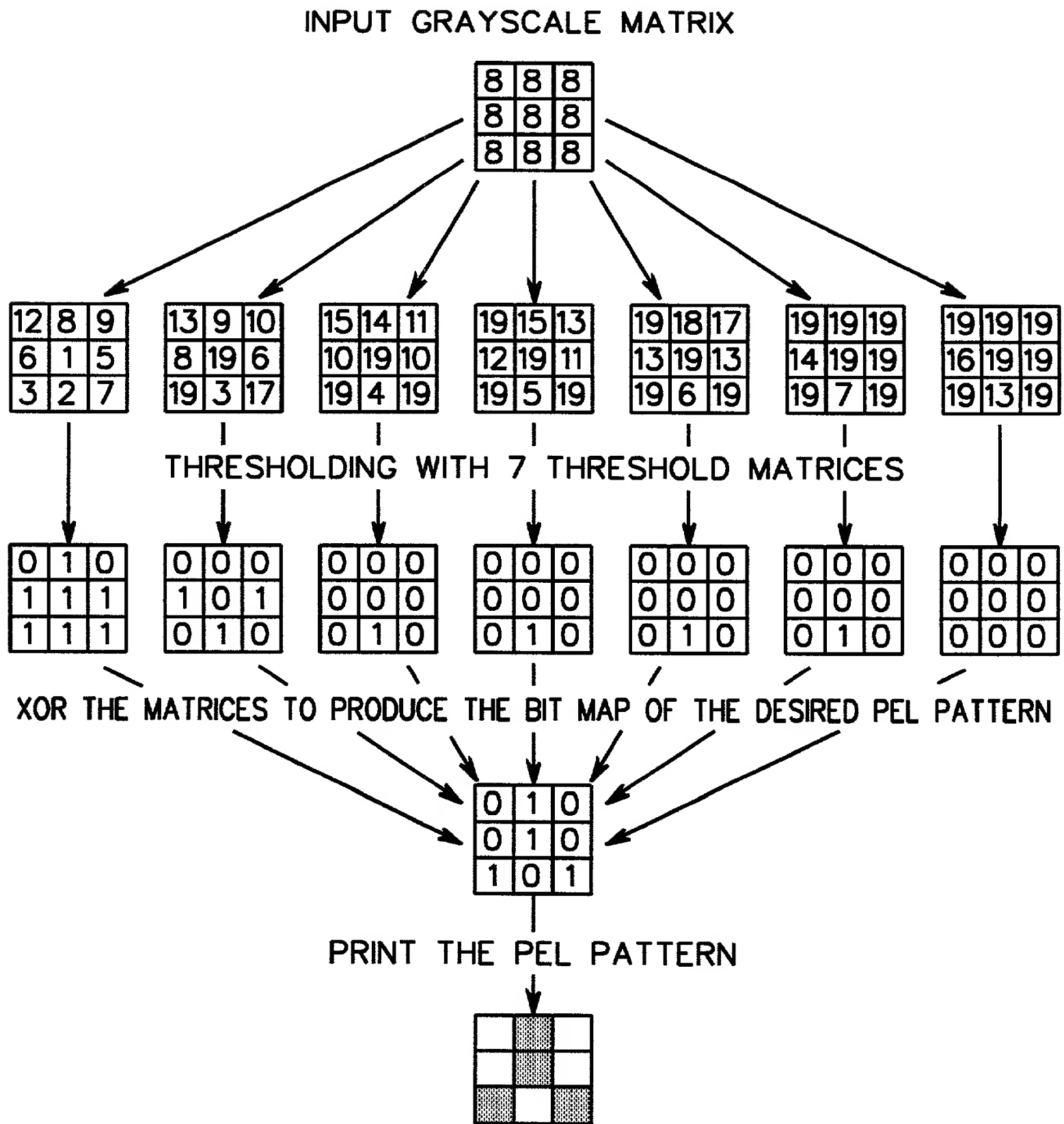


fig. 15